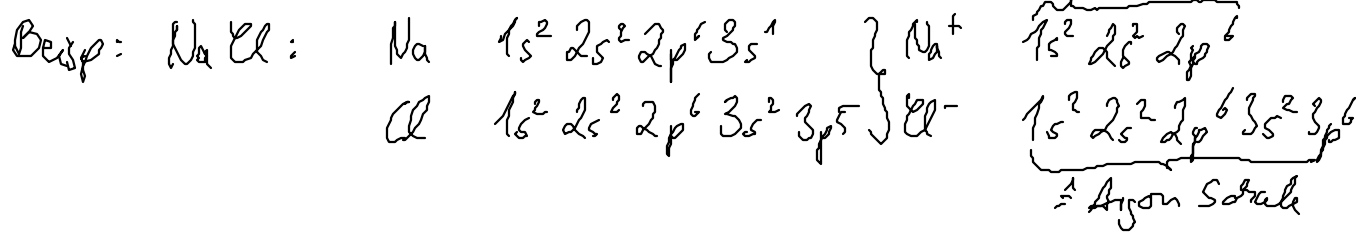


## 1.3 Ionenbindung



Hauptanteil der Bindungsenergie durch die elektrostatische Anziehung der Ionen. ( $\sim \frac{e^2}{r}$ ) ungerichtete Bindg. Ein allgemeiner hoher Koordinationsz. (Anzahl nächster Nachbarn)

### Abschöpfender Teil des Potentials:

- bei Annäherung müssen Elektronen in höheren Orbitale gebracht werden
- genauere Rechnung: QM, vereint Annahme  $\frac{1}{r^n}$  mit empirisch best. Wert

### Resultierendes Paarpotential:

$$\phi_{ij} = \pm \frac{Z^2 e^2}{4\pi \epsilon_0 r_{ij}} + \frac{b}{r_{ij}^n}$$



$Z$ : Wertigkeit der Ionen

(Ann.: für positive gleich angenommen)

- Häufig  $n = 6, \dots, 10$
- großes  $n$ : Ionen verhalten bei kleinen Abständen wie „Kugeln“

### innere Kompressibilität $\chi$

- $\chi = -\frac{1}{V} \left( \frac{\partial V}{\partial p} \right)_T$ , für beliebige Paarpotentiale mit  $n, m: \frac{1}{\chi} = n(m-n)$  unabhängig von Art der Bindg.
- für Ionenbindg.:  $\frac{1}{\chi} \sim n^{-1}$

- Hieraus ist  $n$  experimentell bestimmbar

### Bindungsenergi betrachten: $U_b$

- je der Ion befindet sich in Potential  $\phi_i = \sum_j \phi_{ij}$ , schreibt  $r_{ij} = r_{\text{pair}}$
- $\rightarrow$  Abstand nächster Nachbarn,  $\rho_{ij}$  speziell für  $j$  definiert

(Folge)      
$$U_b = \frac{N}{2} \phi_i = \frac{N}{2} \left( -\frac{Z^2 e^2}{4\pi \epsilon_0 r_{\text{pair}}} \sum_j \frac{\pm 1}{\rho_{ij}} + \frac{1}{r_{\text{pair}}^n} \sum_j \frac{b}{\rho_{ij}^n} \right)$$

$\alpha_m$ : Madleys Konstante, hängt von Gittersstruktur ab

Für NaCl:  $\alpha_M = 6 \cdot 1 - \frac{12}{12} + \frac{8}{13} - \dots = 6 - 8,485 + 4,68 - \dots$   
⇒ bedingt konvergente Reihe"

**Aufgabe:** Wähle einen reziproken Würfel im Sulfatatom (ext. Ladungen „Halbstufen“) und berechne Potential dieses Würfels im Sulfatatom (belasteter Atom)

Beispiel: 6 nächste Nachbarn  $\frac{6}{2}$  (Würflflächen)

12 ü. u. N.  $\frac{12}{4}$  (Würflecken)

8 dritt. u. N.  $\frac{8}{8}$  (Würflecken)

$$\left. \begin{aligned} \alpha_M &= \frac{6}{2} - \frac{12}{4\sqrt{2}} + \frac{8}{8\sqrt{3}} - \dots \\ &= 1,40 \end{aligned} \right\}$$

Würflecken verdoppeln:  $\alpha_M = 1,75$

**Wert:**  $\alpha_M$  Struktur

1,748 NaCl

1,763 CsCl

1,638 ZnS

} kein Unterschied

} Kristallstrukturen

Gleichgewichtsabstand aus Bedingung  $\frac{dU_b}{dr} \Big|_{r_0} = 0$

$$U_b(r_0) = -\frac{N}{2} \alpha_M \frac{z^2 e^2}{4\pi \epsilon_0 r_0} \left(1 - \frac{1}{n}\right)$$

$U_b$	eV/Ionenpaar	theor.	expdl.
LiF		10,4	10,53
NaCl		7,86	7,93

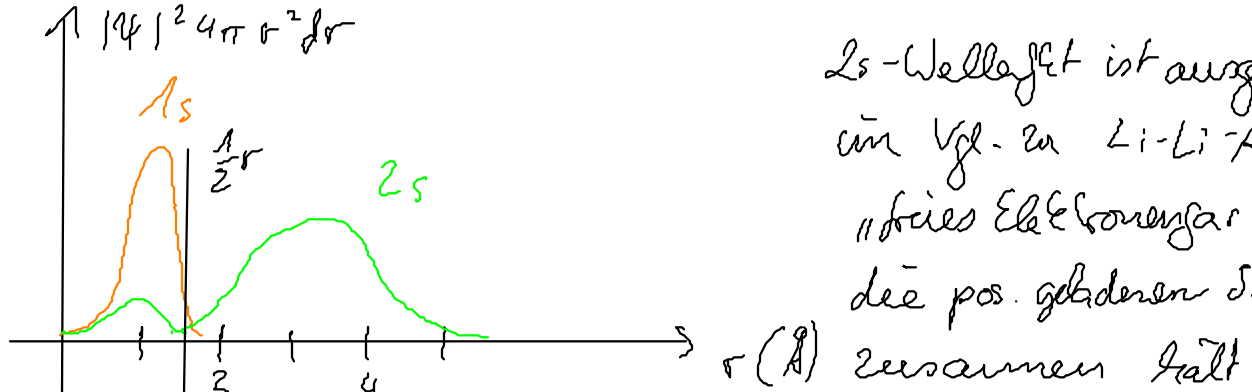
Experimentelle Bestimmung von  $U_b$ : Born-Haber-Kalorimetrie (Folie)

## 1.4 Metallische Bindung

- unter Elementen der häufigste Bindungstyp (~ 70)

- charakteristisch für Metalle: hohe elektr. und therm. Leitfähigkeit

- Legende: Valenzelektronen frei verschiebbar, "Metallische Elektronen"  
besonders einfach: Alkalimetalle z.B. Li  $1s^2 2s$



$2s$ -Welleffkt ist ausgedehnt  
im Vgl. zu  $Li-Li$ -Abstand  
„fries Elektronenfar“, das  
die pos. geladenen Soren  
zusammen hält.

- metallische Bindungen sind i. Allg. ungerichtet

### Qualitative Beschreibung der Bindung

- anziehender Teil: durch El-Ion-Wedelwirkung

im Mittel  $\langle E_{\text{pot}} \rangle = - \frac{2a}{\langle r_{\text{el-ion}} \rangle}$   $a$ : Konstante

- abstoßende Anteil: durch Erhöhung der kin. Energie des Zts.

im Mittel  $\langle E_{\text{kin}} \rangle \approx \frac{(sp)^2}{2m} \times \frac{b^0}{\langle r_{\text{el-ion}} \rangle}$

wegen Urscharkraftheit  $\Delta p \langle r_{\text{el-ion}} \rangle \approx k$

- Paarpotential:  $\phi_{ij} \approx - \frac{a}{r_{ij}} + \frac{b}{r_{ij}^2}$  mit  $r_{ij} = r_{\text{ion-ion}}$   $\propto \langle r_{\text{el-el}} \rangle = 2 \langle r_{\text{ion-ion}} \rangle$   
d.h.  $n=2, m=1$

### Experimentell

Stoff  $U_b \left[ \frac{\text{eV}}{\text{Atom}} \right]$

Na  $\approx 1,13$

Ka  $0,94$

metallischer Bindung ist im Vgl. zu Ionenbindung viel kovalenter / beschwach

$\Rightarrow$  mechanisch Weichheit, niedrig Schmelztemperaturen

Ergebnisse: Übergangsmetalle mit kovalentem Bindungsanteil

durch die d-Elektronen (z.B. Wolfram  $U_b = 8,7 \frac{\text{eV}}{\text{Atom}}$ )

Schmelzpunkt  $T_M \approx 2700^\circ\text{C}$

### 1.5 Van der Waals-Bindung

Edelgase haben gefüllte s- und p-Orbitale, d.h. eine negativen Ladungsverteilung. Bei „starker“ Ladungsverteilung kein El-Feld außerhalb der neutr. Atome.

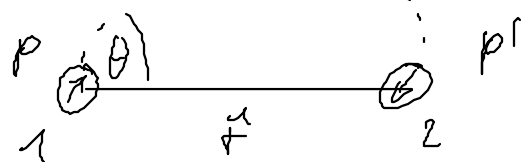
Im Zeit. Mittelsein Feld, das Ladungssituationen, sodass ein momentanes elektr. Dipolmoment auftritt kann.

## Klassische Herleitung der Van-der-Walls-WV:

- momentanes elektr. Dipolmoment  $p$  erzeugt el. Feld

$$\vec{E} = \frac{1}{4\pi\epsilon_0} \left( -\frac{\sigma}{r^3} + \frac{3(\rho^2 - \sigma)}{r^5} \hat{r} \right)$$

- $\vec{E}$  induziert ein elektr. Dipolmoment  $p' = \alpha E$  in Atom 2, falls dieses polarisierbar ist.



- potentielle Energie des Dipoles 2 im Feld  $\vec{E}$  von 1:

$$\phi = -p' \vec{E} = -\alpha E = \frac{\alpha}{(4\pi\epsilon_0)^2} \left( 1 + 3 \cos^2 \theta \right) \frac{p^2}{r^6}$$

$\phi$  ist stetig  $< 0$ , d.h. **anziehende WV**

abgeschlossene Edelgasschale: Mittelwert  $\phi = 0$ , aber  $\overline{p^2} \neq 0$

**Ablösende WV**: ähnlich wie Ionenkristalle: Elektronen müssen bei starker Anziehung austreten, größere Orbitale benötigen

Paarpotential:  $\phi_{ij} = 4\epsilon \left\{ \left( \frac{\sigma}{r_{ij}} \right)^{12} - \left( \frac{\sigma}{r_{ij}} \right)^6 \right\}$   $\sigma, \epsilon \ll a, b$

Lennard-Jones-Potential

Beispiel:  $\text{N}_2$   $\text{Ar}$   $\frac{eV}{\text{Atom}}$

$\text{Ne}$   $0,02$

$\text{Ar}$   $0,08$

$\text{Kr}$   $0,116$

H<sub>2</sub> lebt: bleibt unter Normaldruck flüssig bei T=0

Ursache dafür: Nullpunktsschwinger (QM)